Zihlschlacht: Velofahrer verstorben

10. April 2023

Nach einem Selbstunfall am Montagnachmittag in Zihlschlacht ist ein Velofahrer noch auf der Unfallstelle verstorben.

Kurz vor 15.30 Uhr war ein Velofahrer auf der Hauptstrasse von Zihlschlacht in Richtung Schocherswil unterwegs. Aus noch unbekannten Gründen verlor er ausgangs Dorf die Kontrolle über sein Velo und stürzte auf die Strasse. Passanten leisteten sofort erste Hilfe. Die Reanimationsmassnahmen wurden durch den Rettungsdienst und einer Crew der Rega fortgeführt. Wenig später konnte beim 65-jährigen Schweizer nur noch der Tod festgestellt werden.

Der Kriminaltechnische Dienst der Kantonspolizei Thurgau sicherte die Spuren. Während der Unfallaufnahme musste die Strecke Zihlschlacht – Schocherswil gesperrt werden. Die Feuerwehr Felsenholz erstellte eine Umleitung.

Die genaue Unfallursache wird durch die Kantonspolizei Thurgau abgeklärt.

https://kapo.tg.ch/news/news-detailseite.html/2149/news/63271

Nach einem Herzstillstand: Der Roggwiler Gemeindepräsident ist am Ostermontag verstorben

Gallus Hasler ist am Montag auf einer Velotour bei einem Selbstunfall verstorben. Er war von Zihlschlacht Richtung Schocherswil unterwegs und stürzte nach einem akuten Herzversagen ausgangs Dorf. Passanten leisteten sofort erste Hilfe, der Rettungsdienst und eine Crew der Rega führten die Reanimationsmassnahmen weiter. Wenig später konnten sie aber vor Ort nur noch den Tod von Gallus Hasler feststellen. Dieser war im Frühling 2010 zum Nachfolger von Werner Minder gewählt worden. Ende Mai wäre der 65-Jährige in Pension gegangen. An der Gemeindeversammlung vom 15. Mai sollte er verabschiedet werden.

https://www.tagblatt.ch/ostschweiz/oberthurgau/todesfall-gemeindepraesident-von-roggwil-ist-verstorben-ld.2441754

Elektrosmog im Unfallablauf

Der Ort am Dorfausgang ist wie angenommen in Sichtverbindung zum Sender Prestenegg, wie die Kapo TG auf Anfrage mitteilt: https://goo.gl/maps/Mnffmbi4kXz7meuu5

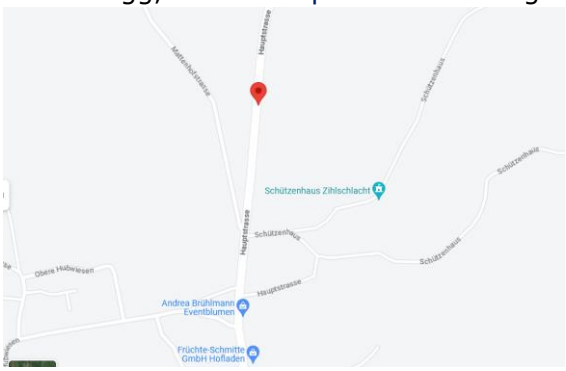

Art des Fahrrads: Ein Rennvelo

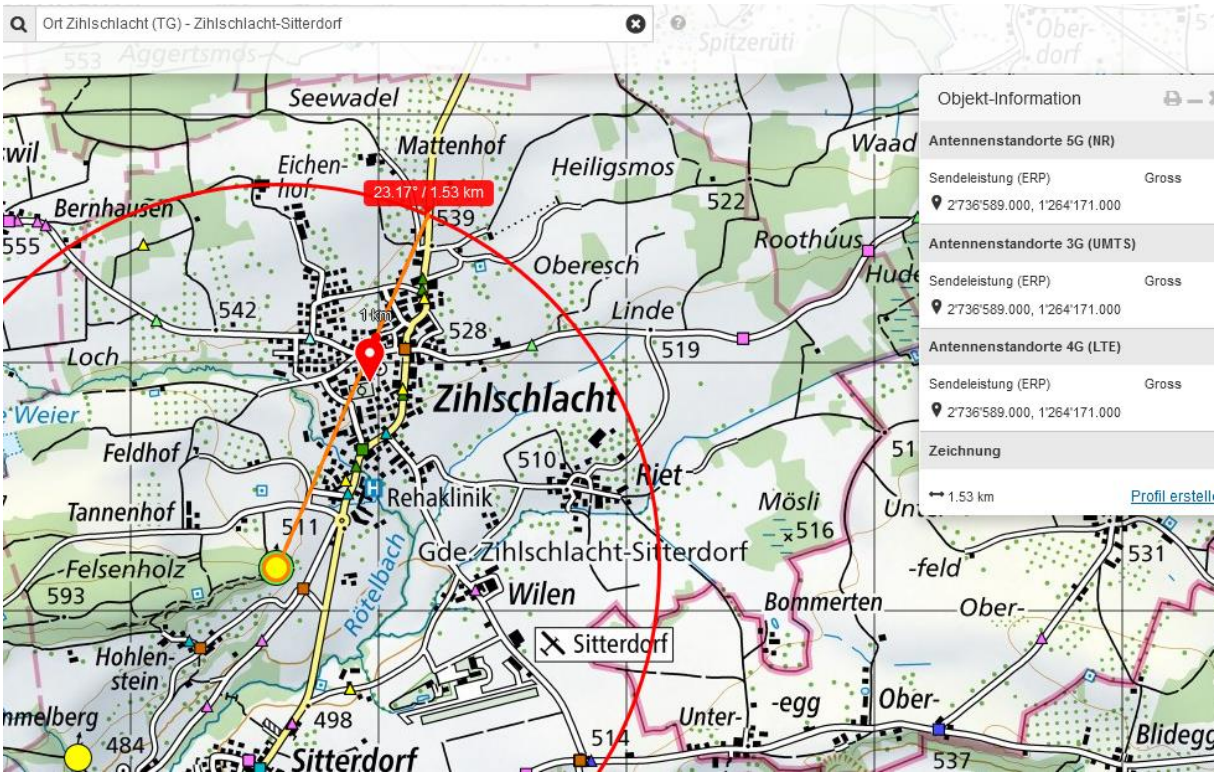

Seit der Querung der Hochspannungsleitung Ebene 5 noch etwa 100 m gefahren, mit einem Rennrad bei einer Steigung von knapp 1% und V = 25 km/h etwa 10 Sekunden

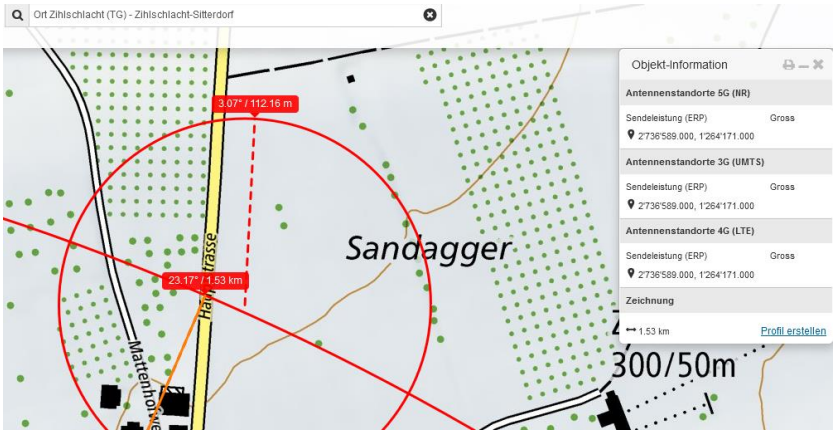

Die Bestrahlung durch die 3 Betreiber mit insgesamt **3 x 3 Frequenzen** UMTS, LTE, 5G (und den aktuell nicht in der Bakom-Karte aufgezeigten, aber im Standortdatenblatt angegebenen von allen Betreibern noch eingesetzten 2G-Frequenzen (Sunrise mit 1000 Werp, Salt mit 1280 Werp, Swisscom mit 1650 Werp)

erfolgt zeitgleich mit der Querung der Hochspannungsleitung:

Kein Element zur Auswahl
3.07° / 112.16 m
23.17° / 1.54 km

Outlook
KP-Mediendienst
AW: Infarkt Zihlschlacht, 10.4.

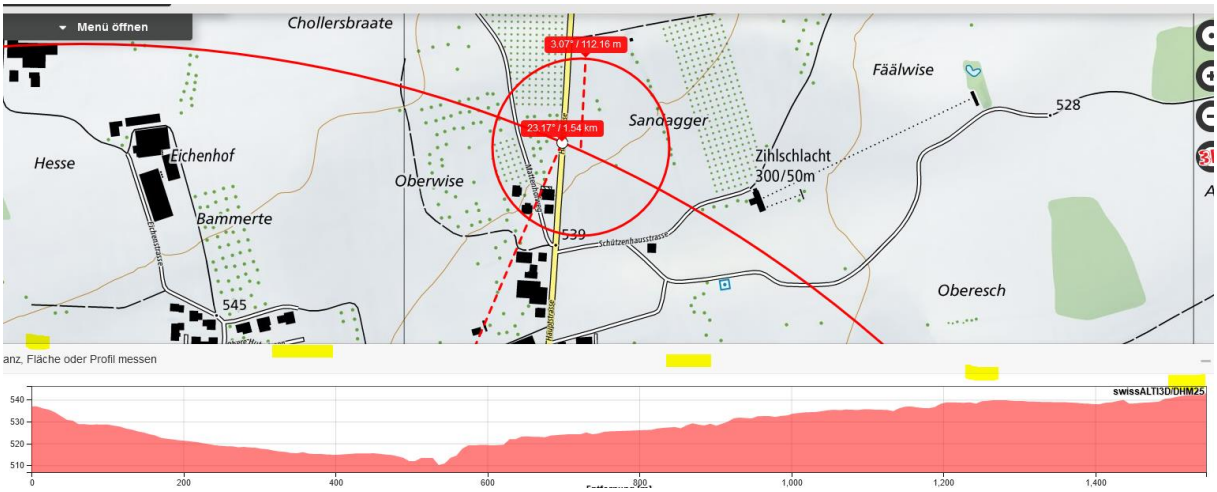

Mindestens ein Doppelstandort, wie nun von der NIS-Fachstelle TG erfahren: ein Dreifach-Standort.

Die NIS-Fachstelle TG wurde zu den Sendeleistungen angefragt, erhalten am 14.4.23:

Standortdatenblatt
für Mobilfunk- und WLL-Basisstationen
(Art. 11 und Anhang 1 Ziff. 6 NISV)

Standortgemeinde:	**Zihlschlacht**		
Beteiligte Firmen			
Netzbetreiber 1 / Stationscode:	**Sunrise**	/	**TG455-2**
Netzbetreiber 2 / Stationscode:	**Swisscom**	/	**ZILS**
Netzbetreiber 3 / Stationscode:	**Salt**	/	**TG_2259A**
Netzbetreiber 4 / Stationscode:		/	
Art des Projekts:	**Aktualisierung gemäss dem Nachtrag des BAFU zu adaptiven Antennen vom 23.02.2021**		
Ersetzt Standortdatenblatt vom:	**26.07.2019 Rev. 1.6**		
Ausgefüllt durch			
Anlageverantwortliche Firma:	**Sunrise UPC GmbH**		
Datum:	**22.08.2021**		
Revision:	**1.7**		

In die Richtung der Hauptstrasse haben alle 3 Betreiber grosse Leistungen:

Zusatzblatt 1: Angaben zur Antennengruppe 1

Beschreibung der Antennengruppe:

Anzahl Masten: 1

Nr. der Antenne	A_SRLW / A_SRHI / A_SR36	B_SRLW / B_SRHI / B_SR36	1SC0809 / 1SC1821	2SC0809 / 2SC1821	1STJKE / 1STSUO / 1STX	2STJKE / 2STSUO / 2STX	3STJKE / 3STSUO / 3STX			
Netzbetreiber	Sunrise	Sunrise	Swisscom	Swisscom	Salt	Salt	Salt			
***ERP: Sendeleistung* (in W)**	3970	2780	3550	3550	3680	3680	3680			
Hauptstrahlrichtung: Azimut (in Grad von N)	50°	180°	20°	140°	25°	115°	205°			

In eine Richtung kumulierte Sendeleistung

Höchstbelastete Senderichtung: Azimut (in Grad von N)	
***ERP*$_{90}$: kumulierte Sendeleistung in diese Richtung**	

In einen Sektor kumulierte Sendeleistung

Höchstbelasteter 90°-Sektor: Azimut (in Grad von N)	von 115° bis 205°
***ERP*$_{90}$: kumulierte Sendeleistung in diesen Sektor**	13690 W

Nur die Sunrise weist adaptiven Betrieb aus, der gemäss Bakom eine Leistungsteigerung um den Faktor 3.2 ermöglicht:

Zusatzblatt 2: Technische Angaben zu den Sendeantennen für Mobilfunk und drahtlose Teilnehmeranschlüsse

Höhenkote 0: 536.65

Laufnummer *n*	**1**	**2**	**3**	**4**	**5**	**6**	**7**	**8**	**9**	**10**
Nr. der Antenne	A_SRLW	B_SRLW	A_SRHI	B_SRHI	A_SR36	B_SR36	1STJKE	2STJKE	3STJKE	1STSUO
Frequenzband (in MHz)	700 - 900	700 - 900	1800 - 2600	1800 - 2600	3600	3600	700 - 900	700 - 900	700 - 900	1800 - 2600
Netzbetreiber	Sunrise	Sunrise	Sunrise	Sunrise	Sunrise	Sunrise	Salt	Salt	Salt	Salt
Typenbezeichnung der Antenne	Huawei AAU5811	Huawei AAU5811	Huawei AAU5811	Huawei AAU5811	Huawei AAU5811	Huawei AAU5811	AOC4518R8 v06_LA	AOC4518R8 v06_LA	AOC4518R8 v06_LA	AOC4518R8 v06_HA
Adaptiver Betrieb	Nein	Nein	Nein	Nein	Ja	Ja	Nein	Nein	Nein	Nein
Anzahl Sub-Arrays	-	-	-	-	16	16	-	-	-	-
Distanz (x/y) zum Koordinaten-Nullpunkt (in m)	0.00 / 0.00	0.00 / 0.00	0.00 / 0.00	0.00 / 0.00	0.00 / 0.00	0.00 / 0.00	0.00 / 0.00	0.00 / 0.00	0.00 / 0.00	0.00 / 0.00
Höhe der Antenne (z) über Höhenkote 0 (in m)	37.14	37.14	37.14	37.14	37.14	37.14	20.00	20.00	20.00	20.00
ERP_n: Sendeleistung (in W)	1000	800	1670	1120	1300	860	1280	1280	1280	1800

Hauptstrahlrichtung

Azimut (in Grad von N)	50°	180°	50°	180°	50°	180°	25°	115°	205°	25°
Mechanischer Neigungswinkel (down tilt, in Grad von der Horizontalen)	0° - -6°	0° - -6°	0° - -6°	0° - -6°	0° - -6°	0° - -6°	0°	-2°	-2°	0°
Elektrischer Neigungswinkel (down tilt, in Grad)	-2° - -12°	-2° - -10°	-2° - -5°	-2° - -6°	-2° - -5°	-2° - -6°	0° - -10°	0° - -10°	0° - -10°	-2° - -7°
Gesamter Neigungswinkel (down tilt, in Grad von der Horizontalen)	-2° - -18°	-2° - -16°	-2° - -11°	-2° - -12°	-2° - -11°	-2° - -12°	0° - -10°	-2° - -12°	-2° - -12°	-2° - -7°

Relevant für die Ermittlung des Einspracheperimeters sind die Antennen im **Sektor** von 115° bis 205°

ERP_{Sektor} : Summierte Sendeleistung der Antennen in diesem Sektor : 13690 W

AGW : Anlagegrenzwert: 5 V/m

Maximale Distanz für die Einspracheberechtigung: $d_{Einsprache} = \frac{70}{AGW} \cdot \sqrt{ERP_{Sektor}} =$ **1638 m**

Zu übertragen in Ziffer 6 des Hauptformulars

Zusatzblatt 2: Technische Angaben zu den Sendeantennen für Mobilfunk und drahtlose Teilnehmeranschlüsse

Höhenkote 0: 536.65

Laufnummer *n*	**11**	**12**	**13**	**14**	**15**	**16**	**17**	**18**	**19**	
Nr. der Antenne	2STSUO	3STSUO	1STX	2STX	3STX	1SC0809	2SC0809	1SC1821	2SC1821	
Frequenzband (in MHz)	1800 - 2600	1800 - 2600	3600	3600	3600	800 - 900	800 - 900	1800 - 2100	1800 - 2100	
Netzbetreiber	Salt	Salt	Salt	Salt	Salt	Swisscom	Swisscom	Swisscom	Swisscom	
Typenbezeichnung der Antenne	AOC4518R8 v06_HA	AOC4518R8 v06_HA	AOC4518R8 v06_3600	AOC4518R8 v06_3600	AOC4518R8 v06_3600	Kathrein 742264	Kathrein 742264	Kathrein 742264	Kathrein 742264	
Adaptiver Betrieb	Nein	Nein	Nein	Nein	Nein	Nein	Nein	Nein	Nein	
Anzahl Sub-Arrays	-	-	-	-	-	-	-	-	-	
Distanz (x/y) zum Koordinaten-Nullpunkt (in m)	0.00 / 0.00	0.00 / 0.00	0.00 / 0.00	0.00 / 0.00	0.00 / 0.00	0.00 / 0.00	0.00 / 0.00	0.00 / 0.00	0.00 / 0.00	
Höhe der Antenne (z) über Höhenkote 0 (in m)	20.00	20.00	20.00	20.00	20.00	35.05	35.05	35.05	35.05	
ERP_n: Sendeleistung (in W)	1800	1800	600	600	600	1650	1650	1900	1900	

Hauptstrahlrichtung

Azimut (in Grad von N)	115°	205°	25°	115°	205°	20°	140°	20°	140°	
Mechanischer Neigungswinkel (down tilt, in Grad von der Horizontalen)	-2°	-2°	0°	-2°	-2°	0°	0°	0°	0°	
Elektrischer Neigungswinkel (down tilt, in Grad)	-2° - -8°	-2° - -8°	-2° - -6°	-2° - -8°	-2° - -8°	0° - -14°	0° - -14°	0° - -8°	0° - -8°	
Gesamter Neigungswinkel (down tilt, in Grad von der Horizontalen)	-4° - -10°	-4° - -10°	-2° - -6°	-4° - -10°	-4° - -10°	0° - -14°	0° - -14°	0° - -8°	0° - -8°	

Relevant für die Ermittlung des Einspracheperimeters sind die Antennen im **Sektor** von ° bis °

Auf dem betreffenden Strassenabschnitt somit 9 bis 12 verschiedene Frequenzen wirksam.

weather	Zihlschlacht-Sitterdorf, Switzerland
	Monday, April 10, 2023

Recorded weather for Zihlschlacht-Sitterdorf, Switzerland

time range	day of **Monday, April 10, 2023**
temperature	(**0** to **15**) **°C** (average: 8 °C)
relative humidity	(**33** to **99**)**%** (average: 74%)
wind speed	(**0** to **4**) **m/s** (average: 2 m/s)

Weather history

Temperature

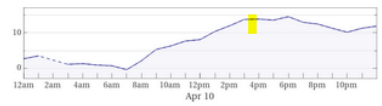

low: **0 °C** Mon, Apr 10, 7:00am | average: **7 °C** | high: **15 °C** Mon, Apr 10, 6:00pm

Conditions

(no precipitation or fog)

Humidity

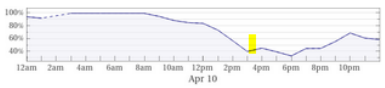

low: **33%** Mon, Apr 10, 6:00pm | average: **74%** | high: **99%** Mon, Apr 10, 3:00am, ...

Wetter am Ostermontag trocken

Zum Verständnis der Abläufe bei solchen Unfällen:

Niels Kuster et al. **NFP 57:** http://www.snf.ch/SiteCollectionDocuments/nfp/nfp57/nfp57_synthese_d.pdf Mobilfunk bewirkt Veränderungen der Hirnströme

M. Mevisssen / D. Schürmann: Manmade Electromagnetic Fields and Oxidative Stress—Biological Effects and Consequences for Health. https://www.mdpi.com/1422-0067/22/7/3772

«Der unklare Unfall in der Verkehrsmedizin» (AGU-Seminar 2015) Dr. Ulfert Grimm Fachbereich Verkehrsmedizin Institut für Rechtsmedizin St.Gallen http://agu.ch/1.0/pdf/agu-seminar15.pdf

«Wirkungen des Mobil- und Kommunikationsfunks» Eine Schriftenreihe der Kompetenzinitiative zum Schutz von Mensch, Umwelt und Demokratie e.V.

https://www.diagnose-funk.org/publikationen/dokumente-downloads/kompetenzinitiative-broschuerenreihe

Wirkungen von Elektrosmog auf Verkehrsunfälle: https://www.hansuelistettler.ch/elektrosmog/elektrosmog-im-verkehr/studie

Zur Möglichkeit der Messung von Sendeleistungen 5G: https://www.gigaherz.ch/5g-alarmierende-resultate-erster-testmessungen/

Zur Funktionsweise von 5G-Antennen: "Understanding Massive MIMO in roughly 2 minutes": https://www.youtube.com/watch?v=XBb481RNqGw

Zum Thema Herzrhythmus hat Prof. Magda Havas, Trent University, publiziert: https://magdahavas.com/electrosmog-exposure/home-environment/new-study-radiation-from-cordless-phone-base-station-affects-the-heart/ Zusammenfassung im emf-portal: https://www.emf-portal.org/de/article/18905

Magnetfelder unter Hochspannungsleitungen: https://www.bfs.de/SharedDocs/Videos/BfS/DE/emf-stromleitung.html

Hansueli Stettler.Bauökologie.Funkmesstechnik.Lindenstrasse 132.9016 St.Gallen.www.hansuelistettler.ch.info@hansuelistettler.ch